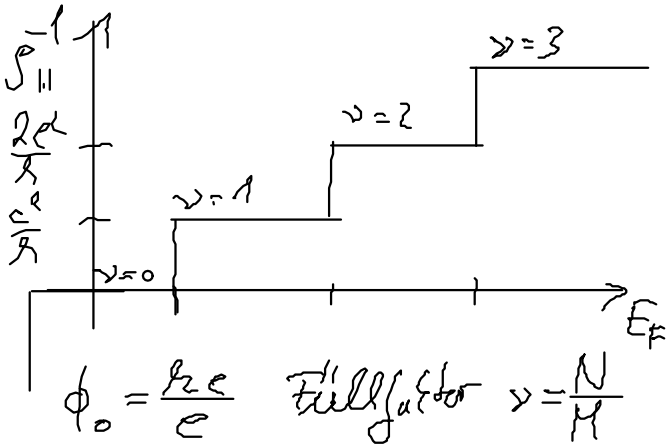
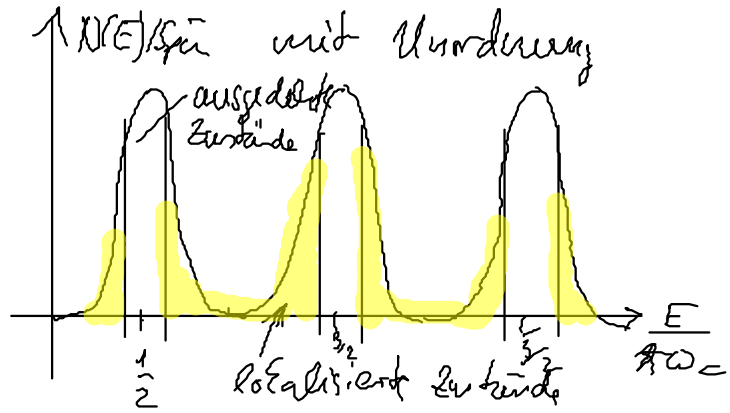
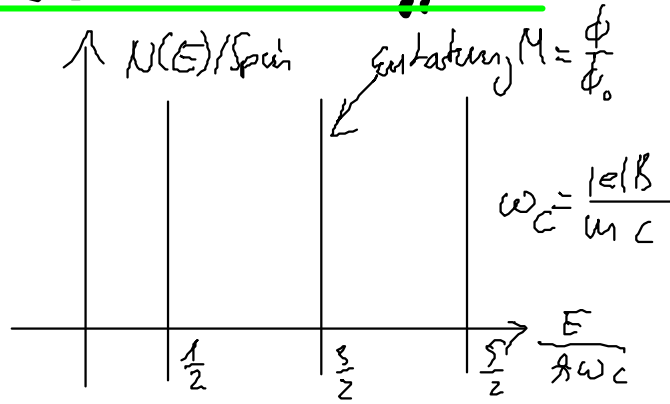


Quadrat-Hall-Effekt



Lozalisierungslänge
 $\xi \sim |E - E_n|^{-s} \quad s = 1 \dots 2$

$$\frac{\xi}{\ell_2} = 25, 8 \dots \ll \Omega$$

- am Einfach: E_F einstellbar
- zunächst: halte E_F fest, ändere B
 - ⇒ Teilchenzahl ändert sich in Stufen (untralesistisch)
- jees waren Störstellen unbeachtet
 - ⇒ Unordnung, Wellenfkt wird lokalisiert
 - streut von links ab.
- **Berücksichtigung der Breite der Zustandsdichte:**
 - halte E_F fest, ändere B ⇒ Teilchenzahl N ändert sich nicht (oder B fest, E_F variabel) im Sprünge
 - Wenn E_F im Bereich der lokalisierten Zustände liegt.
 - ⇒ $\sigma_{xx} = 0$ (Transportleitfähigkeit)
 - für $\sigma_{xy} \neq 0$ ⇒ $\rho_{xx} = 0$
 - Wenn E_F im Bereich der ausgedehnten Zustände liegt
 - ⇒ $\sigma_{xx} \neq 0$, $\rho_{xx} \neq 0$
- **Behauptung:** E_F im Bereich der lokalisierten Zustände

$$\Rightarrow \sigma_{xy} = i \frac{e^2}{2} \quad i=1, 2, \dots \quad (\text{pro Spin})$$

Elektronen in den ausgeleiteten Zuständen liefern noch denselben Wert für σ_{xy} wie volle Landau-Niveaus (Quantisierung?)

4.3.3 Shubnikov-Dehaas Oszillationen

• Störrate durch Störstellen mit Konzentration c und Potential U

$$\Rightarrow \frac{1}{\tau} = \frac{\pi}{\hbar} N(E_F) c \cdot U^2, \quad N(E_F) \text{ hängt von } B \text{ ab}$$

$$\Rightarrow \rho_{xx} = \frac{m}{ne^2 \tau} \propto N(E_F) \text{ oszilliert als } \psi(E) \text{ von } B$$

war bekannt vor v. Klitzing

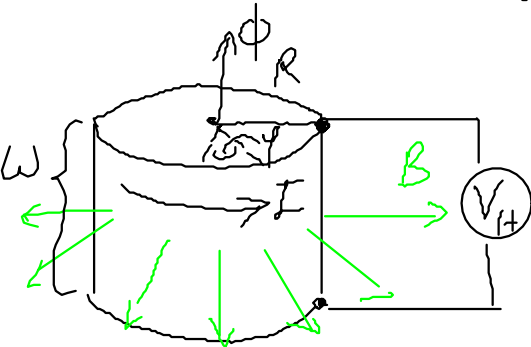


typisches Experiment

4.3.4 Topologisches Argument für die Quantisierung von σ_{xy}

von R.B. Laughlin (Nobelpreis für Theorie des FQHE)

• Dage Probe zu Ring



- Strom I fließt um den Ring
 - Hall-Spannung existieren oben und unten
 - Strom I erzeugt zusätzliches Magnetfeld B
- Vektorpotential \vec{a} und Fluss ϕ

$$\chi = L \frac{\phi}{2\pi} \quad L = 2\pi R$$

• QH von "persistent current"

Zustand auf dem Ring $\psi(\varphi + 2\pi) = \psi(\varphi)$

Vergleiche mit Aharonov-Bohm-Effekt

$$\left(\frac{1}{2m} \left(\frac{\hbar}{c} \frac{d}{dx} - \frac{q}{c} a(x) \right)^2 + V(x) \right) \psi_\phi(x) = E_\phi \psi_\phi(x)$$

$$\psi_a(x) = \psi_0(x) \exp\left[\frac{i}{\hbar} \frac{q}{c} \int^x dx' a(x') \right]$$

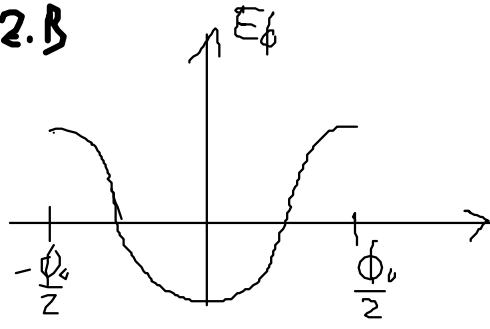
für geschlossenen Weg Phasenfaktor: $g = |e|$

$$\frac{q}{\hbar c} \oint dx' a(x') = \frac{q}{\hbar c} \oint dx' \underbrace{\text{rot } \vec{a}} = \frac{q}{\hbar c} bF = \oint dx' \frac{|\vec{e}|}{\hbar c} \phi = 2\pi \frac{\phi}{\phi_0}$$

Für Änderung von ϕ um Einheiten von ϕ_0 ist Phasenfaktor = 1

$\Rightarrow E_\phi$ ist eine periodische Funktion von ϕ mit Periode ϕ_0

2.B



• Aber für $\Delta\phi \neq \phi_0$ kann Phasenfaktor als Randbedingung angesetzt werden

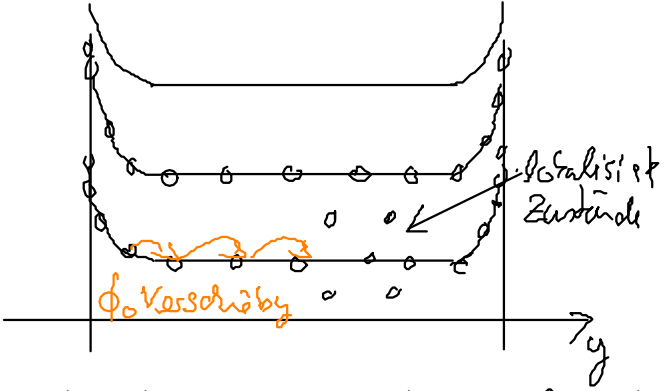
\Rightarrow Mögliches Szenarium wie bei Blochzuständen und Bandstruktur

• Weiterhin gilt:

für den gem Zustand gibt es Strom: $j \propto i (\psi^\dagger (\frac{\hbar}{i} \nabla - eA) \psi - c.c.)$

$$\Rightarrow j = c \frac{\partial E_\phi}{\partial \phi}$$

• Viele Zustände besetzt $\Rightarrow I = c \frac{\partial E_\phi}{\partial \phi}$, E_ϕ ist Gesamtenergie



• Punkte bezeichnen Position des Zustands

• Wenn die Randbedingung in x-Richtung durch ϕ verändert wird

$\Rightarrow y_k$ verschiebt sich

• Aufbrechen von ϕ verschiebt alle ausgeleiteten Zustände

Wenn $\Delta\phi = \phi_0 \Rightarrow$ jeder Zustand ist genau um 1 Platz verschoben

\Rightarrow pro gefülltem Landau-Band wird ein Elektron in y-Richtung durch die Probe geschoben. gegen die Hall-Spannung

\Rightarrow Arbeit $\delta E = |e| V_H \delta\phi = \phi_0$

$$\Rightarrow \sigma_{xy} = \frac{I}{V_H} = \frac{1}{V_H} c \frac{\delta E}{\delta \phi} = \frac{1}{V_H} c \frac{|e| V_H}{\phi_0} = i \frac{c|e|}{\hbar} = i \frac{e^2}{\hbar}$$

4.4 Fractioneller Quanten-Hall-Effekt

Umgekehrtes QHE \Rightarrow Plateaus bei Füllfaktor $\nu = 1, 2, 3, \dots$

Experimente an sehr reinen Proben zeigen weitere Plateaus

bei ν

1) $\nu = \nu_p = \frac{p}{2p+1}$ und $\nu = 1 - \nu_p, 1 + \nu_p, 2 - \nu_p, \dots$ mit $p = 0, 1, 2, \dots$

$\Rightarrow \nu = 0, \frac{1}{3}, \frac{2}{5}, \frac{3}{7}, \frac{4}{9}, \dots, 1, \frac{2}{3}, \frac{3}{5}, \frac{4}{7}, \frac{5}{9}$

2) $\nu = \bar{\nu}_p = \frac{p}{4p+1}$ und $1 - \bar{\nu}_p, 1 + \bar{\nu}_p, 2 - \bar{\nu}_p, \dots$

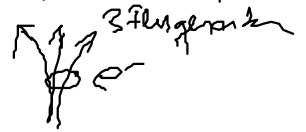
$\Rightarrow \nu = \frac{1}{5}, \frac{1}{3}, \frac{2}{9}, \frac{2}{7}, \frac{3}{13}, \frac{3}{11}$

• Theorie erfordert Berücksichtigung von WW

effektive Teilchen bestehen aus p Elektronen und q Flussquanten

z.B. $\nu = \frac{1}{3} = \frac{N}{\Phi_0}$

3 Flussquanten pro Elektron



für $\nu = \frac{p}{q}$